



## شواهد سنگنگاری و ژئوشیمیایی رستیت (کانی‌های باقیمانده از خاستگاه) در توده‌های گرانیتوئیدی گل زرد و دره باع (الیگودرز، استان لرستان)

مریم شبیه<sup>\*</sup>، علی پاشاپور، محمود صادقیان

دانشکده علوم زمین، دانشگاه صنعتی شاهرود، شاهرود

(دریافت مقاله: ۹۴/۱۰/۲۸، نسخه نهایی: ۹۵/۳/۱۲)

**چکیده:** توده‌های گرانیتوئیدی الیگودرز (گل زرد و دره باع) با سن ژوارسیک میانی، بین سنگ‌های دگرگونی ناحیه‌ای درجه پایین (اسلیت و فیلیت) جای گرفته و هاله‌ای از سنگ‌های دگرگون مجاورتی با درجه پایین تا متوسط (رخساره آلبیت - اپیدوت هورنفلس) را در پیرامون خود ایجاد کرده است. بر اساس بررسی‌های دقیق صحرابی، سنگنگاری و ژئوشیمی، این گرانیت‌ها از نوع S بوده و ترکیب آن‌ها از گرانوپوریت تا گرانیت و لوکوگرانیت تغییر می‌کند. هسته‌های کلسیک بلورهای پلاژیوکلاز ( $An_{84.91}$ ) با منطقه‌بندی پیچیده، زینوکریستهای آندالوزیت، گارتنت خرد شده با ترکیب نسبتاً یکنواخت  $Alm_{70}Py_{22}Gro_{4}Sps_4$  در مرکز، مجموعه‌ی کانی‌ای بیوتیت‌های کوچک  $\pm$  سیلیمانیت و کانی‌های فرعی زیرکن، مونازیت و آپاتیت در بخش‌های گرانوپوریتی شواهدی از کانی‌های باقیمانده از ذوب سنگ خاستگاه بوده و در واقع جزء کانی‌های رستیتی به حساب می‌آیند. این ادعا در این پژوهش، براساس بررسی‌های دقیق سنگنگاری و شواهد ژئوشیمیایی به خوبی اثبات شده و به نظر می‌رسد بیشتر تغییرات ترکیبی در گرانوپوریت‌ها به دلیل جدایش کانی‌های رستیتی از ماقما و در لوکوگرانیت‌ها به دلیل تبلور تفریقی در مراحل بعدی است. وجود دایک‌های مافیک در داخل توده‌های نفوذی یاد شده، نشانه‌ای از قرار گرفتن ماقماهای مافیک ناشی از زون فرورانش و عاملی برای تامین گرمای لازم برای ذوب سنگ‌های پوسته‌ای بوده است.

**واژه‌های کلیدی:** رستیت؛ گرانیت نوع آه ژئوشیمی؛ الیگودرز.

گارتنت، آندالوزیت، بیوتیت‌های حاوی نفوذی‌های سیلیمانیت و زیرکن‌های موروثی، برخی از مهم‌ترین رستیت‌های شناخته شده در گرانیت‌های نوع S هستند [۱، ۳]. البته بسیاری از شواهد باقیمانده از خاستگاه طی تبلور دوباره و در نتیجه تعادل با گرانیت میزبان از بین می‌رود [۱]. برای آگاهی از تاثیر ژئوشیمیایی و کانی‌شناسی رستیت‌ها در سنگ‌زایی گرانیت‌های نوع S، باید رستیت‌ها (ها) به طور کامل شناسایی شوند. گرانوپوریت کوما در استرالیا [۴] و گرانیت شیرکوه در ایران [۵] از جمله توده‌های نفوذ کننده‌ای هستند که حضور کانی‌های رستیتی و تاثیرات عدم اختلاط آن‌ها با ماقما بررسی شده است.

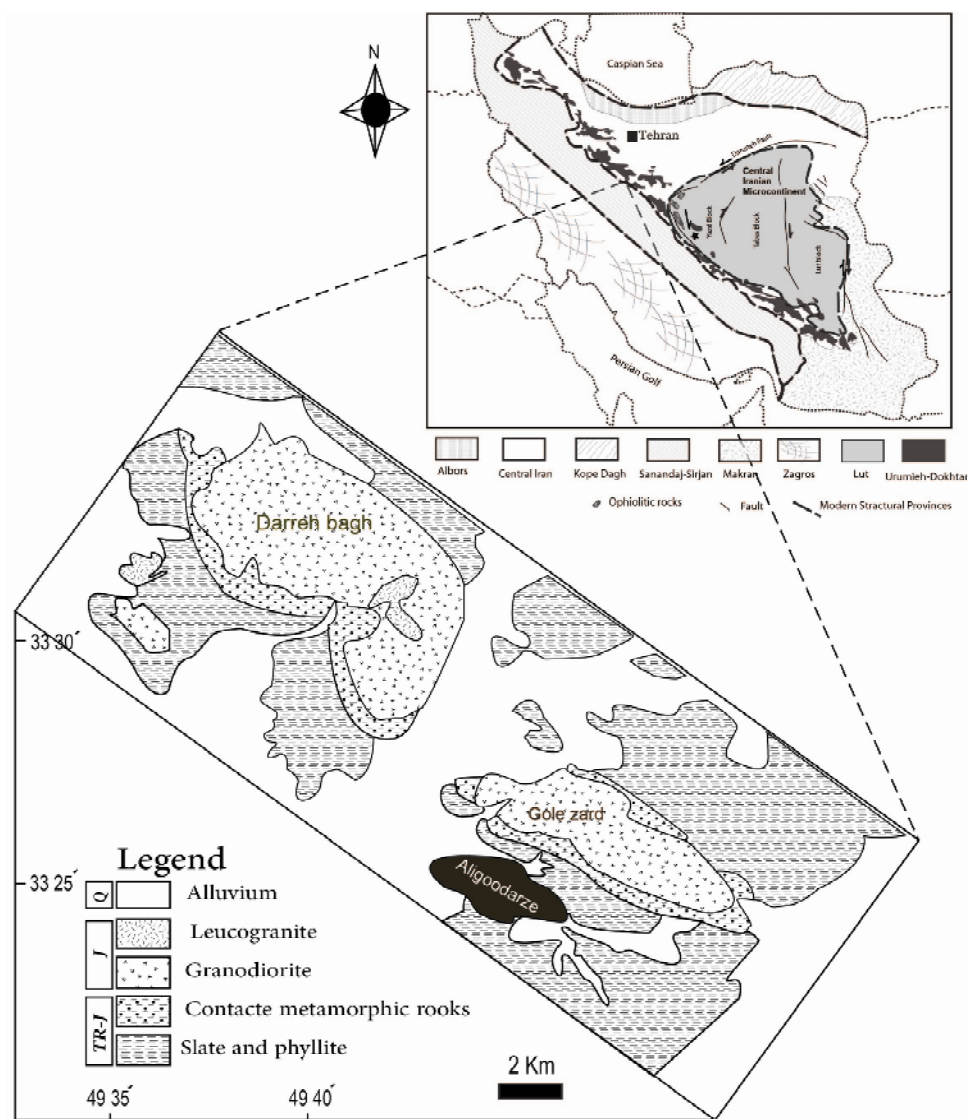
**مقدمه**  
تغییرات ترکیبی موجود در بسیاری از مجموعه‌های گرانیتی، حاصل در جرات مختلف جدایش ماقما و کانی‌های باقیمانده از ذوب‌بخشی (رستیت‌ها) است [۱]. علی‌رغم اختلاف نظرهایی که در این مدل وجود دارد، ولی تاکنون کاربرد زیادی در توضیح نوع ترکیبی گرانیت‌ها و سنگ‌زایی آن‌ها داشته است. در متون علمی تعریف‌های متفاوتی از رستیت وجود دارند، ولی معمولاً به "هر نوع ماده‌ی جامد در سنگ‌های نفوذی یا آتشفشاری که از سنگ خاستگاه به صورت ذوب نشده باقیمانده باشد" رستیت اطلاق می‌شود [۲]. تکه‌هایی از بلورهای مافیک (نظیر پیروکسن)، پلاژیوکلاز دارای منطقه‌بندی پیچیده با هسته‌های کلسیک، برونبوم‌های رسوبی دیرگذار، کردیریت،

\*نویسنده مسئول، تلفن: ۰۹۱۲۸۷۳۰۷۳۳، نمایر: ۰۳۳۹۶۰۰۷، پست الکترونیکی: sheibi@shahroodut.ac.ir

(ژوراسیک میانی) به دست آمده است [۷]. گرانیت‌وئیدها بخش بزرگ توده‌های نفوذی الیگودرز را تشکیل می‌دهند. این سنگ‌ها در برخی مناطق به شدت فرسایش یافته و ریخت‌شناسی آن‌ها به صورت تپه ماهوری است. کانی‌های درشت بلور آندالوزیت و گارنت نیز به صورت زینوکریست در این سنگ‌ها یافت می‌شوند. در مقایسه با گرانوویدیوریت‌ها، گرانیت‌ها دارای بافت‌های ریزدانه‌تر و دگرسانی بیشتری هستند. فراوانی کانی‌های مافیک در گرانیت‌ها در مقایسه با گرانوویدیوریت‌ها کمتر بوده است، و بنابراین رنگ روشنتری نسبت به آن‌ها دارند. این سنگ‌ها در مقایسه با گرانوویدیوریت‌ها حجم خیلی کمتری از کل توده‌های نفوذی الیگودرز را به خود اختصاص می‌دهند.

### زمین‌شناسی منطقه

توده‌های نفوذی الیگودرز به نام‌های گل زرد (خورهه)، دره‌باغ (ملاتالاب) در حدفاصل شمال الیگودرز در بخش شرقی استان لرستان رخنمون دارند (شکل ۱). این توده‌ها براساس رده‌بندی [۶] در منطقه‌ی سیندج سیرجان واقع شده و دارای روند کلی شمال‌غربی-جنوب‌شرقی هستند. توده‌های گرانیت‌وئیدی نامبرده بین سنگ‌های دگرگون ناحیه‌ای درجه‌ی پایین (اسلیت، فیلیت و میکاشیست) جای گرفته و هاله‌ای از سنگ‌های دگرگون مجاورتی درجه پایین (آلبیت-اپیدوت هورنفلس) را در پیرامون خود ایجاد کرده‌اند. بر اساس بررسی‌های سال‌سنگی که اخیراً به روش U-Pb روی زیرکن‌های گرانیت‌های ناحیه الیگودرز صورت گرفته است، سن ۱۶۸ میلیون سال



شکل ۱ نقشه‌ی زمین‌شناسی عمومی منطقه‌ی مورد بررسی و توده‌های گرانیت‌وئیدی گل زرد و دره‌باغ (اقتباس از [۷] با اندکی اصلاحات).

استفاده از تعداد ۱۶ آنالیز انجام شده توسط [۷، ۹] اثبات شده است. لازم به توضیح است که نمونه‌های مورد استفاده به ترتیب در آزمایشگاه‌های ACME و Chemex ALS کانادا و به روش‌های ICP-MS و ICP-OES تجزیه شدند. در این مقاله به منظور بررسی ژئوشیمیایی کانی‌های موجود در توده‌های گرانیتوئیدی الیگودرز، ۵ نمونه انتخاب و پس از تهیه مقاطع صیقلی نازک مورد بررسی کانی‌شناسی قرار گرفته‌اند. آنالیزهای موجود با یک ریزپردازندۀ الکترونی مدل Cameca-SX50 در آزمایشگاه میکروسوند دانشگاه میامی آمریکا انجام شده است. در طول این آزمایش‌ها، ولتاژ ستاپدهندهٔ دستگاه KV ۱۵ و شدت جریان nA ۲۶ بوده است. همچنین در این آزمایشگاه، به منظور شناسایی و جدایش مونازیت از زیرکن از آشکارساز مخصوص الکترون‌های برگشتی (backscattered electron detector) تعدادی تصاویر BSE نیز تهیه شدند.

### سنگنگاری

در این زمینه نخست همه‌ی شواهد سنگ نگاری، شیمی کانی و ژئوشیمیایی سنگ کل با تاکید ویژه‌ای بر معرفی کانی‌های رستیت ارائه شدند و در ادامه به نقش و اهمیت این کانی‌ها در سنگ‌زایی توده‌های گرانیتوئیدی یاد شده می‌پردازیم. مهم‌ترین واحدهای سنگی منطقه‌ی مورد بررسی عبارتند از گرانودیوریت، گرانیت و لوکوگرانیت‌ها (شکل ۱).

گرانودیوریت‌ها به عنوان سازندگان اصلی توده‌های نفوذی مورد بررسی، در زیر میکروسکوب دارای بافت‌های میان دانه تا درشت و گرافیکی بوده و از کانی‌های اصلی پلازیوکلاز، کوارتز، فلدسپارپاتاسیک (ارتوز و میکروکلین) و بیوتیت تشکیل شده‌اند. آندالوزیت، گارنٹ، تیتانیت، آپاتیت، زیرکن، مونازیت و کانی‌های کدر مهم‌ترین فازهای فرعی این سنگ‌ها هستند. کانی‌های ثانویه سریسیت، کلریت، اپیدوت و مسکوویت نیز در برخی از مقاطع مشاهده شده‌اند.

پلازیوکلاز شاخص‌ترین و فراوان‌ترین کانی گرانودیوریت‌هاست (۳۰٪ تا ۴۵٪) که به صورت بلورهای تخته‌ای و از ابعاد درشت تا ریز مشاهده می‌شود. بسیاری از پلازیوکلازهای موجود در گرانودیوریت‌ها (به ویژه در حاشیه‌های غربی توده نفوذی دره باغ) دارای منطقه‌بندی پیچیده، حاشیه‌های خورده شده و بر جستگی بیشتر بوده و با غلافی سفید تا خاکستری روش‌ن از پلازیوکلاز آلبیتی احاطه شده‌اند (شکل ۲ الف). این پلازیوکلازهای به ظاهر شباهت بسیاری به پلازیوکلازهای

لوکوگرانیت‌ها در دره‌باغ و گل‌زرد بیشتر به صورت زائد، دایک، رگه و رگجه، گرانودیوریت‌ها و گرانیت‌ها را قطع کرده‌اند. در توده‌های نفوذی الیگودرز برونبوم‌های فراوان و متنوعی یافت می‌شوند (برونبوم‌های متاپلیتی، سورومیکاشه و زینولیت‌ها و زینوکریست‌های آندالوزیت و گارنٹ) که ماهیت نوع S آن‌ها را تایید می‌کند. تعداد اندکی از دایک گابرودیوریتی توده‌ی گرانیتوئیدی یادشده را قطع کرده‌اند. این دایک‌ها به رنگ سیاه مایل به سبز یا خاکستری مایل به سبز بوده و ضخامت آن‌ها به ۳۰ تا ۲۰۰ سانتی‌متر می‌رسد.

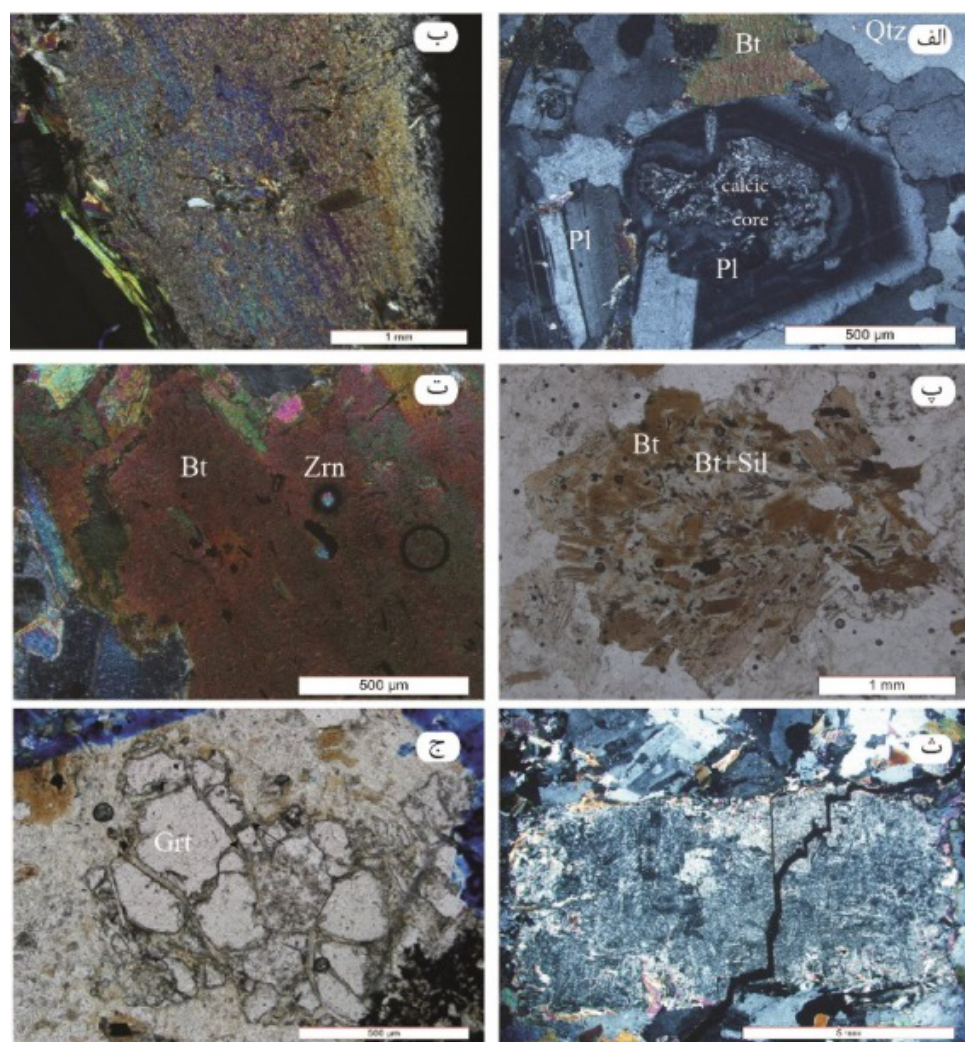
تاکنون بررسی‌های زیادی روی مجموعه گرانیتی الیگودرز انجام شده است [برای مثال ۱۰-۷]. بر اساس بررسی‌های [۷] گرانیتوئیدهای منطقه‌ی الیگودرز (توده‌های نفوذی دره باغ و گل‌زرد) دارای یک خاستگاه مشترک است که فرایندهای هضم و تبلور بخشی (AFC) نقش اصلی را در روند شکل‌گیری ماقمای اولیه داشتند. برخی از پژوهشگران دیگر نظری [۹] نیز با اشاره به روندهای خطی نمودارهای تغییرات عناصر اصلی و کمیاب در نمودارهای هارکر، عامل تبلور جدایشی و ذوب بخشی را در تشکیل توده‌های گرانیتوئیدی یاد شده دخیل دانسته و این مجموعه‌ی آذرین را حاصل فعالیت‌های ماقمایی وابسته به فرورانش پوسته اقیانوسی نئوتیس به زیر ورقه قاره‌ای ایران مرکزی معرفی کرده‌اند. تگاهی جامع و موشکافانه به مجموع بررسی‌های پیشین نشان می‌دهد که اولاً همه‌ی پژوهشگران در مورد خاستگاه و سنگ‌زایی‌های یاد شده اتفاق نظر ندارند و ثانیاً در بیشتر این پژوهش‌ها به حضور و نقش کانی‌های رستیتی در سنگ‌زایی توده‌های گرانیتوئیدی الیگودرز هیچ اشاره‌ای نشده است. یادآوری می‌شود که در برخی از پژوهش‌های پیشین به حضور کانی‌های گارنٹ و آندالوزیت اشاره شده است، ولی شیمی این کانی‌ها و ماهیت خاستگاه دقیق آن‌ها مشخص نشده است [برای مثال ۸ و ۹]. در این مقاله نخست کانی‌های رستیتی با استفاده از شواهد سنگ‌نگاری و ژئوشیمی شناسایی شده و سپس نقش آن‌ها در سنگ‌زایی این مجموعه‌ی گرانیتی مورد بررسی قرار گرفت.

### روش پژوهش

به منظور شناسایی کانی‌های رستیتی در توده‌های نفوذی الیگودرز، پس از بازدید صحراوی، تعداد ۲۳۰ مقطع نازک و ۱۸ مقطع نازک-صیقلی تهیه و بررسی شدند. شواهد ژئوشیمیایی، حضور این کانی‌ها در توده‌های نفوذی گل‌زرد و دره‌باغ با

برای حضور کوارتز رستیتی وجود ندارد. فلدسپار پاتاسیک نیز به دو شکل متفاوت مشاهده می‌شود: نوع اول ماقمایی (خودشکل تا نیمه شکل‌دار) و نوع دوم بلورهای نسبتاً درشت و خودشکلی از این کانی است که دارای رنگ‌های تداخلی متوسط بوده و در موادری به طور کامل با موسکوویت و مقادیر اندک کوارتز و بیوتیت جایگزین شده است (شکل ۲ ب). در هیچ کدام از بررسی‌های قبلی، به این نوع فلدسپار پاتاسیک به دلیل شکل، اندازه و رنگ تداخلی خود اشاره ای نشده است ولی بررسی تصاویر BSE در این پژوهش تنها همرشدی این کانی با موسکوویت را نشان می‌دهد (شکل ۲ ب).

با قیمانده از ذوب‌بخشی دارند که با هسته‌ی دارای آنورتیت بالا، منطقه‌بندی پیچیده و حاشیه‌های گرد شده شناخته می‌شوند [برای مثال ۱۱-۱۳]. کوارتز نیز با فراوانی ۲۴ تا ۳۰٪ به صورت نیمه‌شکل‌دار تا بی‌شکل و خاموشی موجی با مقادیر کمتر فلدسپار قلیایی همراه شده‌اند (شکل ۲ الف). در گرانیت-های نوع S که حاوی قلوه‌های درشتی از کوارتز هستند، تشخیص کوارتزهای ماقمایی از رستیتی دشوار است و نیاز به بررسی‌های کاتدولومینسانس دارد [۱]. در این توده‌های نفوذی، به جز گرهک‌های درشت کوارتز که احتمالاً قطعات کوارتز ذوب‌نشده از محل خاستگاه هستند، هیچ شاهد سنگ‌نگاری



شکل ۲ تصاویر میکروسکوپی معرف برخی از مهم‌ترین کانی‌های رستیتی تشکیل دهنده توده‌های نفوذی الیگو‌درز. (الف) بافت گرانولار حاوی هسته‌های کلسیک بلورهای پلاژیوکلاز (Pl) با منطقه‌بندی پیچیده (XPL؛ ب) همرشدی بلور درشت فلدسپار پاتاسیک با موسکوویت (XPL؛ پ) بیوتیت‌های تکه‌تکه ± سیلیمانیت (Bt+Sil) که به نظر می‌رسد از بخش‌های دیرگذار باقی مانده و رستیتی باشد (PPL؛ ت) بیوتیت‌های ورقه‌ای بزرگ حاوی ادخال‌های فراوان زیرکن (Zrn)، مونازیت و آپاتیت؛ ث) آندالوزیت سریسیتی شده (XPL؛ ج) بقایای گارنت (Grt) رستیتی (PPL). علائم اختصاری کانی‌ها از [۹].

مقاطع طولی بیشتر به صورت سوزنی، کوچک و کشیده هستند که به صورت نفوذی در بیوتیت‌ها و به مقدار کمتر در فلدسپارها یافت می‌شوند. بلورهای منشوری کوتاه زیرکن و مونازیت به صورت نفوذی در بیوتیت‌ها مشاهده می‌شوند. این پدیده نیز شاهد دیگری مبنی بر رستیت بودن این دو کانی است [۲]. با توجه مشابهت زیاد ویژگی‌های نوری مونازیت و زیرکن و عدم امکان شناسایی این دو کانی با میکروسکوپ، از میکروسکوپ الکترونی برای جدایش و اثبات حضور هر دو استفاده شده است (شکل ۲ ت). ایلمنیت و مینیت به صورت نفوذی در بیوتیت و مقادیر ناچیزی تورمالین، از دیگر کانی‌های فرعی این واحد را تشکیل می‌دهند.

گرانیت‌ها با بافت‌های دانه‌ای نسبتاً ریزدانه و گرافیکی بوده و دگرسانی بیشتری در مقایسه با گرانودیوریت‌ها نشان می‌دهند. کانی‌های اصلی شامل کوارتز (۲۱ تا ۳۲٪)، پلازیوکلаз (۳۱ تا ۴۱٪)، پتاسیم فلدسپار (۲۵ تا ۳۰٪) و کانی‌های فرعی، بیوتیت (کمتر از ۴٪)، مسکوویت، آپاتیت، تیتانیت، کانی کدر و زیرکن هستند. پلازیوکلازها به صورت شکل‌دار تا نیمه‌شکل‌دار با ماکل پلی‌سننتیک (تکراری) دیده می‌شوند. دگرسانی پلازیوکلاز به سریسیت و بیوتیت به کلریت از ویژگی‌های چشمگیر آنهاست. زیرکن و مونازیت به صورت شکل‌دار تا نیمه‌شکل‌دار همراه با ایلمنیت و آپاتیت مهم‌ترین کانی‌های فرعی را تشکیل می‌دهند.

لوکوگرانیت‌ها با رنگ سفید و نبود یا کمبود کانی‌های تیره از سنگ‌های دیگر تمیز داده می‌شوند. این سنگ‌ها در توده‌های نفوذی گلزرد و دره باع به صورت دایک و زائده رخنمون دارند. این سنگ‌ها اساساً از کوارتز (۴۱ تا ۴۳٪)، فلدسپار قلایی (۴۳ تا ۴۵٪)، پلازیوکلاز سدی (۸ تا ۱۲٪) و به مقدار کمتر مسکوویت تشکیل شده و با تورمالین‌زایی همراهی دارند. کوارتز به صورت بلورهای درشت و گاهی ریزدانه فضای بین بلورهای پلازیوکلاز و فلدسپار را پر کرده است. در بررسی‌های سنگنگاری هیچ شاهدی از حضور کانی‌های رستیتی شناسایی شده در دو گروه دیگر سنگی (نظیر پلازیوکلاز کلسیک و گارنت) وجود ندارد. چنین گذاههایی همانند گدازه‌های لوکوگرانیتی پرآلومین خیمالیا [۱۷، ۱۸] توانایی بیشتری برای جدا شدن از خاستگاه دارند و به همین دلیل می‌توانند در غالب بسته‌های ماقمایی کوچک از خاستگاه جدا شوند.

بیوتیت مهم‌ترین و فراوان‌ترین کانی مافیک در گرانودیوریت‌هاست (با فراوانی ۰ تا ۱۵٪) که به دو صورت مشاهده می‌شود: ۱- بیوتیت‌های ورقه‌ای درشت با چند رنگی قهقهه‌ای مایل به سرخ و حاوی نفوذی‌های فراوانی از زیرکن و مونازیت، آپاتیت، روتیل، تیتانیت و کانی کدر (شکل ۲ ت)؛ ۲- بیوتیت‌های ریز دانه با چند رنگی قهقهه‌ای و دارای سوزن‌های ظرفی سیلیمانیت (شکل ۲ پ). این بیوتیت‌ها که در بخش‌های مافیک‌تر توده نفوذی نیز بیشتر پراکنده شده‌اند (شکل ۴)، براساس بررسی‌های سنگنگاری [۲] به نظر می‌رسد قطعاتی از کانی‌های رستیت باشند. همه‌ی این شواهد مشارکت فرایندهای آناکتسی همراه با حضور کانی‌های رستیتی را در سنگزایی این سنگ‌ها اثبات می‌کند.

آنالوژیت دارای طیفی از اندازه‌ی بلوری (از چند میلیمتر تا چند سانتیمتر)، به رنگ‌های تداخلی ضعیف سری اول بوده و بیشتر بی‌شكل بوده و به صورت پراکنده در درون سنگ‌های گرانودیوریتی قابل مشاهده هستند (شکل ۲ث). این زینوکریست‌ها خودشکل تا نیمه‌شکل‌دار بوده و در برخی مقاطع به واسطه‌ی هجوم گرماب‌ها به شدت سریسیتی شده‌اند. تعیین خاستگاه این کانی در سنگزایی توده‌های گرانیتی مزبور اهمیت ویژه‌ای دارد. این کانی که اغلب در گرانیت‌های به شدت پرآلومین مشاهده می‌شود می‌تواند به صورت اولیه از گدازه‌های گرانیتی متبلور شده باشد [۱۴] و یا از سنگ‌های خاستگاه در قالب کانی‌های دگرگون به ارث رسیده باشد [۱۵]. بررسی تعداد زیادی از سنگ آذرین فلزیک آندالوژیت‌دار نشان داده است که این کانی را می‌توان از نظر ژنتیکی و خاستگاه به انواع، دگرگونی، ماقمایی و دگرنهادی رده‌بندی کرد [۱۶]. این پژوهندگان معتقدند که بیشتر آندالوژیت‌های موجود در سنگ‌های آذرین فلزیک پرآلومین خاستگاه ماقمایی دارند و بنابراین گستره‌ی پایداری بزرگی برای آندالوژیت‌های ماقمایی وجود دارد. نامحسان بودن اندازه بلورهای آندالوژیت‌های موجود در این توده‌های نفوذی، در بسیاری از موارد ریز دانه و گرد بودن آن‌ها، رنگ‌های تداخلی ضعیف، بافت‌های نامتعادل (حاشیه‌های واکنشی) و نفوذی‌های فراوان، مهم‌ترین شواهد مبنی بر رستیتی بودن این کانی است.

گارنت به صورت تعدادی بلور نسبتاً شکل‌دار ولی خرد شده، همراه با مسکوویت، کلریت و بیوتیت، در توده‌های نفوذی گل زرد و دره باع یافت می‌شود (شکل ۲ج). بلورهای آپاتیت در

شده‌اند.

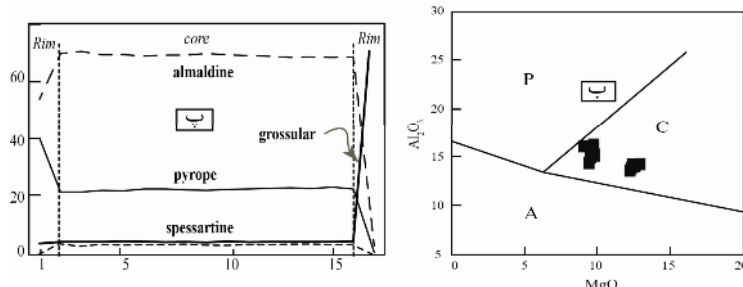
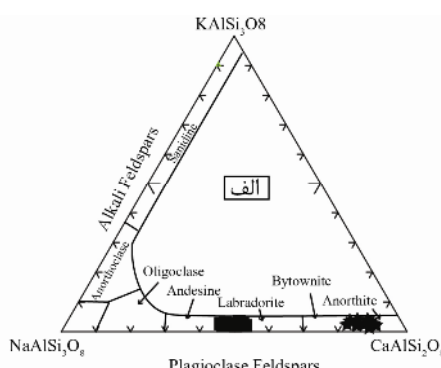
در واحد گرانودیوریتی، بلورهایی در پلازیوکلازی وجود دارند که دارای هسته‌های کلسیک نسبتاً یکنواختی بوده (An<sub>91-84</sub>) و به سمت حاشیه به منطقه‌بندی عادی ختم می‌شوند (An<sub>53-47</sub>) (جدول ۱، شکل ۳ الف).

### شیمی کانی

برای بررسی ترکیب دقیق کانی شناسی و فرآیندهای فیزیکی و شیمیایی حاکم بر محیط تشکیل فلدسپارها در این توده‌های گرانیتوئیدی، تعداد ۲۷ نقطه از کانی‌های فلدسپار و ۱۳ بیوتیت و یک بلور گارنت در این واحدها مورد بررسی قرار گرفتند. نتایج حاصل از آنالیز این کانی‌ها در جدول‌های ۱ تا ۳ ارائه

جدول ۱ نتایج بررسی نقطه‌ای پلازیوکلازهای رستیتی در توده‌های نفوذی الیگودرز (بر پایه‌ی ۸ اتم اکسیژن).

شماره آنالیز	SF18-C3										SF18-C4									
	مرکز ۱	مرکز ۲	مرکز ۳	مرکز ۴	مرکز ۵	مرکز ۶	مرکز ۷	مرکز ۸	مرکز ۹	مرکز ۱۰	مرکز ۱۱	مرکز ۱۲	مرکز ۱۳	مرکز ۱۴	مرکز ۱۵	مرکز ۱۶	مرکز ۱۷	مرکز ۱۸	مرکز ۱۹	مرکز ۲۰
SiO <sub>4</sub>	46.25	45.54	55.88	56.39	45.79	55.12	55.24	45.85	44.11	44.67	55.27	54.55	45.24	45.06	44.8	44.46	44.81	44.42	43.48	
Al <sub>2</sub> O <sub>3</sub>	34.87	34.24	28.85	28.3	35.76	29.20	29.19	35.61	35.24	34.81	27.64	28.34	33.40	32.99	35.33	35.08	35.22	34.77	35.19	
Fe <sub>2</sub> O <sub>3</sub>	0.09	0.09	0.11	0.06	0.0	0.11	0.1	0.15	0.1	0.08	0.04	0.0	0.13	0.0	0.0	0.13	0.03	0.03	0.14	
CaO	17.66	17.74	10.98	10.13	18.26	10.91	11	18.69	18.73	18.39	9.55	10.96	17.66	17.08	18.19	18.21	18.53	18.57	18.58	
Na <sub>2</sub> O	1.47	1.36	5.53	5.2	1.16	5.31	5.4	0.91	0.99	1.07	5.74	5.17	1.69	1.51	1.17	1	0.97	1.08	0.89	
K <sub>2</sub> O	0.02	0.05	0.13	0.5	0.0	0.17	0.06	0.03	0.05	0.01	0.13	0.1	0.01	0.35	0.05	0.01	0.02	0.02	0.02	
Sum Ox%	100.0	99.03	101.5	100.5	101	100.8	101	101.1	99.22	99.03	98.38	99.12	98.13	97	99.53	98.99	99.6	98.88	98.3	
Si	21.12	21.12	2.48	2.52	2.09	2.46	2.47	2.08	2.06	2.08	2.52	2.48	21.13	21.14	2.08	2.07	2.08	2.08	2.05	
Ab	13.06	12.12	47.12	46.99	10.33	46.34	46.88	8.12	8.67	9.53	51.68	45.79	14.71	13.55	10.37	8.99	8.66	9.02	7.97	
An	86.8	87.59	51.95	50.05	89.66	52.64	52.75	91.71	91.03	90.42	47.55	53.62	85.21	84.4	89.34	90.94	91.23	90.38	91.94	
Or	0.14	0.29	0.73	2.97	0.02	1	0.37	0.18	0.3	0.06	0.77	0.59	0.08	2.06	0.29	0.07	0.11	0.11	0.09	



شکل ۳ الف- ترکیب فلدسپار از نمونه‌های مختلف منطقه‌ی مورد بررسی روی نمودار آلبیت- ارتوز- آنورتیت. پلازیوکلازهای با آنورتیت بالا هسته‌ای کلسیک باقی مانده از ذوب بخشی و رستیتی هستند. ب- نمودار تعیین محیط زمین‌ساختی گرانیت‌ها با استفاده از  $\text{Al}_2\text{O}_3/\text{MgO}$  موجود در ساختار بیوتیت. A: بیوتیت در جایگاه‌های قلیایی غیر کوه‌زایی؛ P: بیوتیت در جایگاه‌های پرآلومین (شامل گرانیت‌های نوع S)؛ C: بیوتیت در جایگاه‌های آهکی- قلیایی کوه‌زایی. ب- الگوی منطقه‌بندی گارنت موجود در گرانودیوریت. درصد مولی آلماندن، پیروپ، اسپسارتین و گروسولار برای بررسی تغییرات عناصر اصلی ترسیم شده است.

جدول ۲ نتایج بررسی نقطه‌ای انواع بیوتیت‌های اولیه و ثانویه در توده‌های نفوذی الیگودرز (بر پایه ۲۴ اتم اکسیژن).

شماره نمونه	BF-۳۶			SF1A-C1			SF1A-C2			BF-۳۷				
	بیوتیت ثانویه			بیوتیت اولیه			بیوتیت اولیه			بیوتیت اولیه				
	شماره آنالیز	۲	۳	۱	۲	۳	۱	۲	۳	۱	۲	۳	۴	۵
SiO <sub>2</sub>	۳۳,۷	۴۵,۸	۳۷,۲	۳۶,۸۹	۳۷,۱	۳۶,۶۱	۳۷,۴۸	۳۶,۳۹	۳۵,۸۱	۳۶,۷	۳۶,۷۱	۳۵,۸۴	۳۵,۳۶	
TiO <sub>2</sub>	۰,۰۷	۰,۰۲	۴,۴۱	۴,۵	۴,۳۶	۳,۲۱	۳,۴۳	۳,۲۷	۲,۸۶	۲,۷۷	۲,۵۹	۳,۱۷	۳,۰۸	
Al <sub>2</sub> O <sub>3</sub>	۱۸,۲۸	۲۴,۲۶	۱۴,۲۲	۱۳,۵۸	۱۳,۸۴	۱۴,۰۳	۱۴,۲۴	۱۴,۱۲	۱۵,۱۳	۱۵,۲۱	۱۶,۲۴	۱۴,۳۶	۱۴,۹۴	
FeO	۱۹,۸	۱,۷۳	۱۸,۷۱	۱۹,۵۴	۱۸,۹۶	۱۸,۷۹	۱۹,۰۴	۱۸,۴۶	۲۱,۹۹	۲۲,۰۳	۲۱,۷	۲۱,۱۳	۲۲,۱۱	
MgO	۱۱,۳۶	۱,۲۷	۱۲,۳۴	۱۲,۱۷	۱۲,۲۶	۱۲,۴۸	۱۲,۸۶	۱۲,۵۳	۹,۷۸	۹,۷۷	۹,۷۲	۹,۴	۹,۵۱	
K <sub>2</sub> O	۸,۰۹	۱۱,۱	۱۰	۹,۷۶	۹,۷۵	۹,۷۹	۹,۶۳	۹,۶۵	۹,۷۶	۱۰,۰۲	۹,۹۵	۱۰,۰۹	۹,۶۸	
Sum Ox%	۹۵,۶۵	۹۹,۱	۱۰,۱	۱۰۰,۶	۱۰۰,۵	۹۹,۱۶	۱۰۰,۹	۹۸,۵۸	۹۹,۶۵	۱۰۰,۸	۱۰,۱	۹۸,۰۵	۹۸,۹۷	
Ti	۰,۰۰۹	۰,۰۰۲	۰,۴۹۷	۰,۵۱۲	۰,۴۹۵	۰,۳۷	۰,۳۸۶	۰,۳۷۸	۰,۳۳۳	۰,۳۱۲	۰,۳۹۴	۰,۳۷۵	۰,۳۶۲	
Al	۲,۶۶۴	۱,۸۲۱	۲,۴۲۳	۲,۴۲	۲,۴۰۱	۲,۳۹۶	۲,۳۸۱	۲,۴۰۸	۲,۴۶۱	۲,۳۹۷	۲,۴۴۵	۲,۳۹۷	۲,۴۸۳	
Al <sup>VI</sup>	۰,۷۴۶	۳,۶۲۶	۰,۰۹	۰,۰۰۱	۰,۰۶۱	۰,۱۳۵	۰,۱۳۵	۰,۰۱۵	۰,۲۹۶	۰,۳۳۸	۰,۴۵۱	۰,۲۶۵	۰,۲۶۵	
Fe <sup>۳+</sup>	۲,۶۲۲	۰,۱۹۶	۲,۳۴۶	۲,۴۷۲	۲,۳۹۴	۲,۴۰۶	۲,۳۸۸	۲,۳۷۳	۲,۸۴۴	۲,۸۱۲	۲,۷۴۷	۲,۷۷۸	۲,۸۸۵	
X <sub>Mg</sub>	۰,۵۰۵	۰,۵۶۶	۰,۵۴	۰,۵۲۶	۰,۵۳۵	۰,۵۴۲	۰,۵۴۶	۰,۵۴۷	۰,۴۴۲	۰,۴۴۴	۰,۴۴۴	۰,۴۴۲	۰,۴۳۴	

جدول ۳ نتایج بررسی نقطه‌ای گارنت در توده‌های نفوذی الیگودرز (بر پایه ۲۴ اتم اکسیژن).

X	۲	۱۵	۱۶	۱۷	۱۸	۱۹	۲۰	۲۱	۲۲	۲۴	۲۵	۲۶	۲۷	۲۸	۲۹	۵۰	
SiO <sub>2</sub>	۱۱,۵۷	۳۶,۴۴	۳۶,۸۵	۳۶,۵	۳۶,۱۷	۳۶,۱۷	۳۶,۵۸	۳۶,۲۵	۳۶,۵۵	۳۶,۰۴	۳۶,۴۱	۳۶,۰۵	۳۶,۴	۳۶,۱۷	۳۴,۹۸	۳۵,۶۵	۵۳,۷۵
TiO <sub>2</sub>	۰,۲۷	۰,۰۸	۰,۱۶	۰,۱۳	۰,۱۴	۰,۰۹	۰,۰۶	۰,۱۱	۰,۱	۰,۱۱	۰,۰۹	۰,۱۳	۰,۱۲	۰,۱۱	۰,۱۴	۰,۰۱	
Al <sub>2</sub> O <sub>3</sub>	۵,۹۶	۲۰,۸۹	۲۱,۱۳	۲۰,۹۸	۲۱,۰۵	۲۰,۹۲	۲۱,۲	۲۱,۰۵	۲۱,۱۲	۲۰,۹۵	۲۱,۱۶	۲۱,۴۱	۲۱,۱۶	۲۰,۹۲	۲۰,۲۹	۲۰,۷۴	۲۷,۷۹
Fe <sub>2</sub> O <sub>3</sub>	۰,۰	۰,۹۱	۰,۸۸	۰,۹۴	۰,۸۴	۰,۷۹	۰,۷۴	۰,۸۵	۰,۸۱	۰,۱	۰,۸۶	۰,۷۳	۰,۶۱	۰,۶۹	۰	۱	۰,۰
MgO	۲,۵۹	۵,۵۷	۵,۶۷	۵,۷۷	۵,۷۱	۵,۸۳	۵,۸۸	۵,۸۱	۵,۷۸	۵,۸۴	۵,۹۱	۶	۵,۹۸	۵,۸۷	۵,۶۸	۵,۸۵	۰,۰۷
MnO	۰,۰	۱,۷۲	۱,۳۳	۱,۴۹	۱,۵۳	۱,۶	۱,۵۷	۱,۶۶	۱,۵۲	۱,۴۸	۱,۶۲	۱,۶۶	۱,۶۸	۱,۴۹	۱,۶۲	۰,۰۲	
FeO	۵,۹۴	۳۱,۶۸	۳۲,۴۲	۳۱,۶۱	۳۱,۴۸	۳۱,۲	۳۱,۷۱	۳۱,۵۷	۳۱,۹	۳۱,۶۲	۳۱,۷	۳۱,۸۳	۳۱,۱۶	۳۰,۹۷	۲۹,۳۳	۳۰,۹۸	۰,۳۶
CaO	۰,۳۴	۱,۵۹	۱,۶۲	۱,۶۲	۱,۶۹	۱,۶۲	۱,۵۷	۱,۵۹	۱,۵۶	۱,۶۵	۱,۵۷	۱,۶۲	۱,۶۱	۱,۵۷	۱,۵	۱,۶۷	۱,۴۹
Total	۲۶,۶۶	۹۸,۸۹	۹۹,۹۶	۹۹,۱۷	۹۸,۴	۹۸,۲۳	۹۹,۳۲	۹۸,۸۹	۹۹,۳۴	۹۸,۷	۹۹,۳۱	۱۰۰,۳	۹۸,۷۱	۹۷,۹۹	۹۷,۳۷	۹۷,۶۴	۹۰,۴۸
Si	۷,۱۴	۵,۷۶	۵,۷۷	۵,۷۴	۵,۷۲	۵,۷۳	۵,۷۳	۵,۷	۵,۷۳	۵,۶۶	۵,۶۹	۵,۷۵	۵,۷۳	۵,۷۵	۵,۵۸	۵,۶۶	۱۲,۷۲
Al	۴,۳۲	۳,۸۹	۳,۹	۳,۸۹	۳,۹۲	۳,۹۱	۳,۹۱	۳,۹	۳,۸۸	۳,۹	۳,۹۱	۳,۹۳	۳,۹۲	۴	۳,۸۸	۷,۷۵	
#Mg	۰,۳	۰,۱۵	۰,۱۵	۰,۱۵	۰,۱۵	۰,۱۶	۰,۱۶	۰,۱۶	۰,۱۵	۰,۱۶	۰,۱۶	۰,۱۶	۰,۱۶	۰,۱۶	۰,۱۶	۰,۱۶	
grossular	۳,۹۶	۴,۵	۴,۵۳	۴,۵	۴,۷۷	۴,۵۷	۴,۴	۴,۴۸	۴,۳۸	۴,۶۶	۴,۳۹	۴,۴۹	۴,۵۳	۴,۴۶	۴,۴۹	۴,۷۳	۷,۹۵
pyrope	۴۰,۲۶	۴۱,۷۲	۲۱,۷۲	۲۲,۸	۲۲,۱۵	۲۲,۷۸	۲۲,۴۵	۲۲,۳	۲۲,۵۷	۲۲,۷۷	۲۲,۹۶	۲۲,۱۴	۲۲,۹۴	۲۲,۳۷	۲۲,۷۹	۱,۰۱	
almandine	۵۴,۰۳	۶۹,۷۸	۷۰,۴۸	۶۹,۳۱	۶۸,۹	۶۹,۲۲	۶۹,۱۷	۶۹,۷۴	۶۹,۲۶	۶۹,۰۸	۶۸,۸۱	۶۸,۳۹	۶۸,۵۸	۶۸,۴	۶۸,۵۵	۳,۱۲	
spessartine	۰,۰	۳,۸۴	۲,۲۹	۳,۶۱	۳,۴۱	۳,۵۷	۳,۴۸	۳,۶۸	۳,۳۶	۳,۲۹	۳,۵۷	۳,۶۸	۳,۷۷	۳,۵۱	۳,۶۴	۰,۱۴	

ترکیب An<sub>55</sub> تا An<sub>30</sub> را دارد می‌تواند در تعادل با پلازیوکلاز رستیتی باشد [۲۰، ۱۹]. چنانچه پروتولیت دارای سدیم و کلسیم کمی باشد، پلازیوکلاز می‌تواند به طور کامل در فاز ماقما حل شود. در پروتولیت‌هایی که دارای سدیم و کلسیم بیشتری هستند (همانند پلازیوکلازهای دگرگون) این کانی واکنش خواهد کرد. ذوب‌بخشی پلازیوکلاز (An<sub>60</sub>) در سیستم Qz-Ab-An-H<sub>2</sub>O در ۲۰۰°C مگاپاسکال و ۸۵۰°C بلورهای پلازیوکلاز دارای An<sub>85-82</sub> به علاوه متشکله پلازیوکلاز سدیک‌تری در ماقما تولید خواهد کرد [۱۹]. ترکیب کلسیم تقریباً یکنواخت هسته‌های پلازیوکلاز، تعادل محلی را در طی تشکیل پلازیوکلاز کلسیک نشان می‌دهد، ولی خوردگی مراکز

این قبیل هسته‌های کلسیک به پلازیوکلازهای باقی مانده از ذوب‌بخشی شباهت داشته و به دلیل ترکیب یکنواخت‌شان فازهای رستیتی در نظر گرفته می‌شوند [۱]. احتمالاً به دلیل سرد شدن سریع و شرایط نسبتاً خشک، کانی پلازیوکلاز نمی‌توانست با گدازه‌ای حاصل به طور کامل در تعادل باشد و با هسته‌های پلازیوکلاز غنی از آنورتیت با منطقه‌بندی عادی احاطه شده‌اند. منطقه‌بندی پیچیده در پلازیوکلاز در گرانیت‌های حاصل از آناتکسی نادر است. معمولاً پلازیوکلازهای رستیتی با ترکیب An<sub>55</sub> تا An<sub>80</sub> گزارش شده‌اند اما معمولاً محتوای آنورتیت پلازیوکلاز در گرانیت‌های آناتکسی از An<sub>35</sub> Qz-Or-An-Ab-H<sub>2</sub>O که در سیستم Qz-Or-An-Ab-H<sub>2</sub>O، ماقمایی که توانایی تبلور بلورهای پلازیوکلاز با

۷۹%  $\text{wt\%}$  در تغییر است و در اکثر نمودارهای هارکر روند خطی دارند (شکل ۴). روندهای خطی گرانیت‌های دو میکایی در این قبیل نمودارها معمولاً به فرایندهای ذوب‌بخشی پیشرونده [۲۲]، تغییرات ناشی از ذوب‌بخشی سنگ خاستگاه ناهمگن [۲۴]، عدم اختلاط کانی‌های رستیتی [۱] و تبلور تفریقی نسبت داده شده است. اختلاط ماغما، هضم و دگرسانی گرمابی از دیگر فرایندهای ممکن محسوب می‌شوند [۲۵]. در فرایند ذوب‌بخشی، غنی شدگی از عناصر ناسازگار و تغییرات اندکی در عناصر سازگار انتظار می‌رود [۲۶]. از آنجا که این گرانیت‌ها تغییرات اندکی در عناصر ناسازگار ایجاد می‌کنند، ذوب‌بخشی نمی‌تواند تنوع ترکیبی شیمی آن‌ها را توضیح دهد. در مقابل افزایش فراوانی تورمالین همراه با لوکوگرانیت‌ها، به غنی شدگی تدریجی از  $\text{B}$  در گذارهای باقیمانده اشاره دارد که بهترین توضیح برای فرایند تبلور جدایشی است [۲۷]. با توجه به هم ماغمایی بودن این سنگ‌ها [۷]، می‌توان گفت که فرایندهای اختلاط ماغما، هضم و دگرسانی گرمابی نیز در سنگ‌زایی این سنگ‌ها نقشی نداشته است.

کاهش میزان  $\text{TiO}_2$ ,  $\text{Al}_2\text{O}_3$ ,  $\text{CaO}$ ,  $(\text{Fe}_2\text{O}_3+\text{MgO})$  و افزایش  $(\text{Na}_2\text{O}+\text{K}_2\text{O})$  همگام با افزایش سیلیس بیانگر تبلور جدایشی کانی‌های سیلیکاتی تشکیل دهنده این سنگ‌ها است (شکل ۴ و جدول ۴). از طرف دیگر، بر اساس بررسی‌های سنگ‌نگاری، کانی‌های رستیتی فراوانی در این سنگ‌ها شناسایی شده‌اند. بنابراین، فرایند عدم اختلاط رستیتی در کنار تبلور جدایشی یکی از فاکتورهای مهم در سنگ‌زایی این سنگ‌ها است. کاهش محتوای  $\text{Fe}$ ,  $\text{Mg}$  و  $\text{Ti}$  می‌تواند با جدایی بیوتیت حاصل شود و با جدایش پلازیوکلاز و پتاسیم فلدسپار، (نه تجمع آن‌ها)، تهی شدگی در  $\text{CaO}$ ,  $\text{Sr}$ ,  $\text{Ba}$  و  $\text{Eu}$  رخ می‌دهد. ورود ترجیحی  $\text{Sr}$  به درون پلازیوکلاز [۲۸] و جدا شدن این بلور از ماغما، کاهش تدریجی  $\text{Sr}$  از گرانوپوریت‌ها به سمت لوکوگرانیت‌ها را توجیه می‌کند.

بالاترین فراوانی  $\text{P}$ ,  $\text{Zr}$  و  $\text{Ce}$  در سنگ‌های مافیک‌تر (گرانوپوریت‌ها) مشاهده می‌شود و به طور پیشرونده به سمت ترکیبات فلزیک‌تر (لوکوگرانیتی) از مقدار آن‌ها کاسته می‌شود (شکل ۴). کاهش مشخص محتوای  $\text{P}_2\text{O}_5$  از گرانوپوریت‌ها به سمت لوکوگرانیت‌ها حاکی از کمبود و یا عدم حضور آپاتیت در سنگ‌های اخیر است. آپاتیت با خاستگاه ماغمایی در گرانیت‌های پرآلومین می‌تواند در ماغماهایی که سازندهی آن‌ها حاوی بیش از ۵۰% درصد وزنی  $\text{P}_2\text{O}_5$  باشد تشکیل شوند [۲۹].

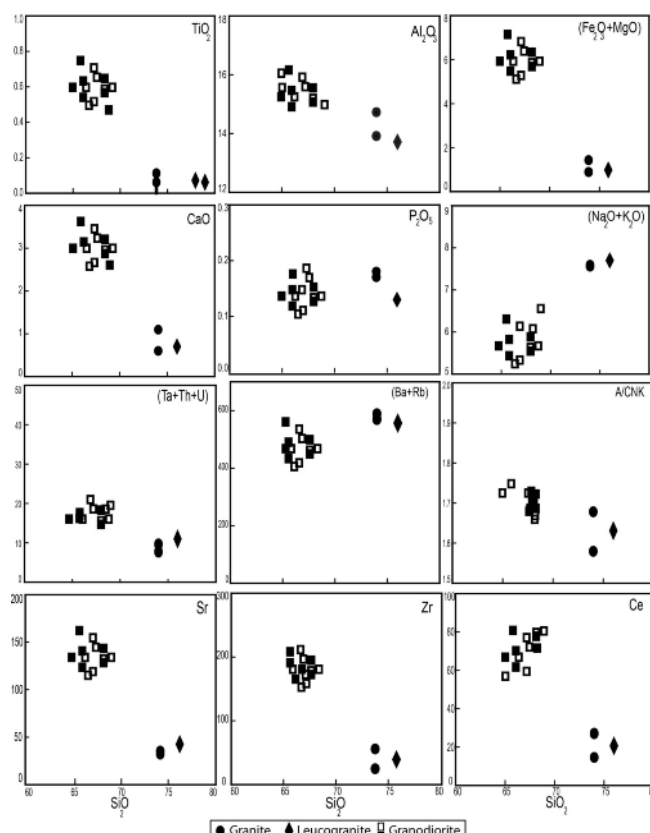
و پیچیدگی منطقه‌بندی بخش‌های خارجی نشانده‌نده عدم تعادل است.

در واحد گرانیتی پلازیوکلازها (تعداد ۸ نقطه) منطقه‌بندی عادی داشته و از  $\text{An}_{30}$  در نزدیکی حاشیه تا  $\text{An}_{55}$  در مرکز تغییر کرده و در ردیف الیگوکلاز-آندزین قرار می‌گیرند (شکل ۳ الف). چنانکه ملاحظه می‌شود تغییر ترکیب فلدسپارها در این واحد عادی بوده و با جدایش ماغمایی نیز سازگاری نشان می‌دهند. این باشت موسکوویت و بیوتیت‌های ریز دانه در داخل فلدسپار پتاسیم از نظر شیمی کانی بررسی و با انواع بیوتیت‌های درشت ورقه‌ای مقایسه شده است. نتایج تجزیه‌ی نقطه‌ای نشان می‌دهد که محتوای  $\text{Al}^{IV}$  بیوتیت‌های ورقه‌ای درشت خیلی بالا نبوده و ویژگی چشمگیر گرانیت‌های آهکی-قلیایی را نشان می‌دهند (شکل ۳ ب). این نسخه با توجه به سن و جایگاه زمین‌شناسی و زمین‌ساختی منطقه‌ی مورد بررسی، به خوبی همخوانی دارد. همچنین از نظر ترکیب کانی‌شناسی، تفاوت چندانی بین بیوتیت‌های بزرگ و انواع کوچک همراه با سیلیمانیت در گرانوپوریت‌ها وجود ندارد که احتمالاً می‌توان آن را به تعادل دوباره بخشی یا همه‌ی سنگ‌های میزبان نسبت داد. چنانکه انتظار می‌رفت ترکیب بیوتیت‌های بزرگ با انواع کوچک نفوذی در فلدسپار قلیایی از یکدیگر متفاوت است به گونه‌ای که بیوتیت‌های ورقه‌ای بزرگ دارای  $\text{X}_{\text{Mg}}$  بالاتری (۰,۵۲ تا ۰,۵۴) هستند (جدول ۲). در مجموع بیوتیت‌های واحد گرانیتی  $\text{X}_{\text{Mg}}$  کمتری نسبت به گرانوپوریت‌ها دارند (۰,۴۴).

در صد مولی آلماندن، پیروپ، اسپسارتین و گروسولار گارنت موجود در یکی از این سنگ‌ها برای بررسی تغییرات عناصر در شکل ۳ پ نشان داده شده است. از نظر منطقه‌بندی، ترکیب گارنت در حاشیه‌ها از مرکز متفاوت است به گونه‌ای که در حاشیه افزایش در  $\text{Mn}$  و کاهش در محتوای  $\text{Fe}$  نشان می‌دهد. تغییر ناگهانی بین مرکز و حاشیه می‌تواند به فرایندهای تبادل یونی بین ماغما و گارنت باقی مانده مرتبط باشد. این گارنت‌ها دارای ترکیب غالب آلماندن بوده (جدول ۳) و بر اساس یافته‌های [۲۱] می‌توانند به عنوان رستیت در نظر گرفته شوند.

### شیمی سنگ کل

به منظور شناسایی کانی‌های رستیتی با استفاده از شواهد ژئوشیمیایی، بهتر است از عناصری که سازنده‌ی کانی‌های اصلی سنگ‌ها هستند (به ویژه عناصر اصلی و  $\text{Ba}$ ,  $\text{Sr}$ ,  $\text{Rb}$  و  $\text{Eu}$ ) استفاده شود [۲۲]. محتوای  $\text{SiO}_2$  نمونه‌های مورد بررسی از ۶۶ تا



شکل ۴ نمودارهای هارکر عناصر اصلی و کمیاب توده‌های نفوذی الیگودرز (گل زرد و دره باغ). گرانوپوریت دره باغ و گل زرد به ترتیب با علامت مربع توپر و توخالی نشان داده شده‌اند.

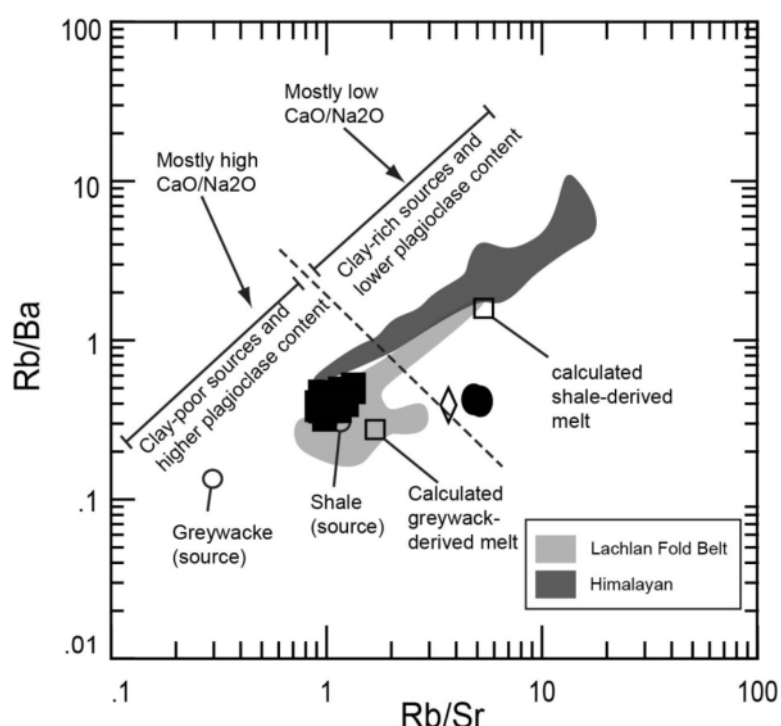
جدول ۴ بررسی عناصر اصلی و فرعی واحدهای مختلف توده‌های گرانیتوئیدی الیگودرز. آهن کل به صورت  $\text{Fe}_2\text{O}_3$ . اکسیدهای عناصر اصلی بر حسب درصد وزنی و عناصر کمیاب بر حسب ppm .

Sample	Granodiorites												Granite		Leucogranite		
	ES-۱۴	BF-۱۲	BF-۲۳	ES-۱۵	ES-۹	SF-۴۲	ES-۵	ES-۱۱	SF-۴۶	BF-۵۱	SH-۲۳	BF-۱۰	ES-۱۶	ES-۲۰	BF-۱۳	ES-۱۸	
SiO <sub>2</sub>	۶۶	۶۷	۶۷	۶۶	۶۶	۶۷	۶۷	۶۶	۶۸	۶۸	۶۸	۶۸	۶۶	۷۴	۷۳.۶	۷۶	
TiO <sub>2</sub>	۰.۵۹	۰.۵۴	۰.۶۳	۰.۶	۰.۰۵	۰.۶۳	۰.۵۲	۰.۶۳	۰.۵۱	۰.۷	۰.۶۱	۰.۵۴	۰.۶	۰.۰۶	۰.۱	۰.۰۵	
Al <sub>2</sub> O <sub>3</sub>	۱۵.۸	۱۵.۷	۱۵.۷	۱۵.۵	۱۵.۶	۱۶	۱۵	۱۵.۸	۱۵.۴	۱۶	۱۵.۵	۱۵.۶	۱۵.۱	۱۴.۶	۱۴.۷	۱۳.۷	
Fe <sub>2</sub> O <sub>3</sub>	۵.۱	۵.۶۳	۵.۳۸	۵.۱	۵.۳	۵.۴۴	۵.۹	۵.۱	۴.۷۲	۶.۰۵	۵.۰۹	۴.۶۴	۵	۱.۵	۱.۶	۱	
MgO	۱.۶	۱.۲۹	۱.۶۷	۱.۶	۱.۴	۱.۷۷	۱.۴	۱.۵	۱.۳۳	۱.۹۵	۱.۳۷	۱.۲۴	۱.۶	۰.۳	۰.۳	۰.۲	
CaO	۳.۶	۲.۱۲	۲.۰۲	۲.۲	۲.۲	۳.۵۳	۲.۷	۲.۳	۲.۹۴	۳.۴۵	۲.۰۹	۲.۰۸	۲.۲	۱.۱	۱	۰.۷	
Na <sub>2</sub> O	۲.۶	۲.۵۴	۲.۵	۲.۵	۲.۵	۲.۴۸	۲.۶	۲.۷	۲.۵۸	۲.۲۷	۲.۶۵	۲.۷۴	۲.۳	۳.۱	۳.۴	۳	
K <sub>2</sub> O	۲.۷	۲.۵۴	۲.۶۴	۲.۲	۲.۳	۲.۱۶	۲.۵	۲.۳	۲.۶۴	۲.۳	۲.۴	۲.۵۲	۲.۱	۴.۵	۴.۱	۴.۷	
P <sub>2</sub> O <sub>5</sub>	۰.۱۴	۰.۱۶	۰.۱۵	۰.۱۷	۰.۱۵	۰.۱۴	۰.۱۵	۰.۱۲	۰.۱۴	۰.۱۶	۰.۱۶	۰.۱۳	۰.۱۸	۰.۲	۰.۱۳	۰.۱۳	
LOI	۱.۴	۱.۱	۱.۲	-	-	۰.۸	۱.۸	۱.۵	۰.۶	۱.۵	۱.۲	۱.۲	-	۰.۷	۰.۸	-	
Total	۹۸.۲۳	۹۹.۶۲	۹۹.۶۱	۹۷.۷۹	۹۸.۱	۱۰۰.۷	۹۷.۶۷	۹۸.۵۵	۹۹.۴۳	۱۰۰	۹۹.۹۷	۹۹.۵۹	۹۷.۲	۹۹.۹	۹۹.۸	۹۹.۵۸	
Zr	۱۷۹	۱۳۷.۴	۱۵۱.۸	۱۸۲	۱۶۸	۱۵۹	۱۹۷	۱۹۱	۱۸۶	۱۹۰	۱۸۵	۱۸۲	۱۸۰	۶۰	۵۱.۸	۴۴	
Ba	۲۹۱	۳.۱	۲۲۶	۲۳۲	۲۴۵	۳۵۱	۳۵۶	۳۵۹	۳۷۱	۳۷۸	۳۹۲	۳۹۲	۳۹۳	۴.۶	۴۳۲	۴۰۰	
Ta	۱	۱	۱	۱	۱	۰.۹	۱.۱	۱.۱	۰.۹	۰.۹	۰.۹	۰.۹	۰.۹	۱	۱.۳	۱.۱	۱.۲
Th	۱۳.۵	۱۲.۲	۱۳.۲	۱۳.۳	۱۲.۱	۱۴.۵	۱۵.۱	۱۳.۹	۱۳.۸	۱۵.۱	۱۲.۶	۱۴.۵	۱۵.۳	۵.۶	۵.۳	۸.۴	
U	۲.۵۵	۲.۵	۲	۲	۲.۵	۲.۹	۲.۸۴	۲.۱۹	۲.۷	۲.۶	۲	۲.۶	۲.۱۱	۰.۹۱	۱.۲	۱.۳۶	
Rb	۱۳۰	۱۴۹	۱۵۱	۱۴۸	۱۴۷	۱۳۲	۱۵۰	۱۵۱	۱۵۲	۱۴۱	۱۴۷	۱۴۳	۱۴۸	۱۶۶	۱۵۷	۱۵۵	
Sr	۱۳۸	۱۱۱	۱۳۰	۱۲۴	۱۳۴	۱۲۴	۱۲۱	۱۲۵	۱۲۲	۱۴۹	۱۲۷	۱۴۴	۱۳۶	۴۲	۳۲	۳۴	
Ce	۷۶.۹	۶۱.۲	۷۰.۱	۷۱.۵	۶۳	۷۱.۹	۷۵.۸	۷۰.۲	۷۴.۶	۸۰.۶	۷۶.۱	۸۳.۱	۸۱.۵	۲۷	۲۶.۵	۲۰.۴	
ACNK	۱.۷۷	۱.۷	۱.۷۴	۱.۷۵	۱.۷۳	۱.۷۳	۱.۷۴	۱.۶۹	۱.۶۸	۱.۷۵	۱.۷	۱.۶۷	۱.۷۵	۱.۶۷	۱.۷۱	۱.۶۳	

مونازیت و آپاتیت در داخل این کانی است. این موضوع می‌تواند به جدایش بیشتر زیرکن و مونازیت در مقایسه با فلدسپار توضیح داده شود، زیرا این دو کانی بیشتر از ۹۰ درصد کل Sm و Gd ولی Eu خیلی کمی دارند [۳۲]. این مجموعه جدا شده با روابط سنگنگاری مشاهده شده بین کانی‌های اصلی همچنانی دارد زیرا پلاژیوکلاز، بیوتیت و فلدسپار پتانسیم در مراحل اولیه تبلور و کوارتز و مسکوویت در مرحله بعدی غالب هستند.

نسبت‌های  $\text{CaO}/\text{Na}_2\text{O}$  در گرانیتوئیدهای پرآلومین نواع S بهوسلیه‌ی مقدار پلاژیوکلاز سنگ‌های خاستگاه کنترل می‌شود به گونه‌ای که ماغماهای پرآلومینی تولید شده از منابع غنی از رس (فقیر از پلاژیوکلاز) تمایل دارند تا نسبت‌های  $\text{CaO}/\text{Na}_2\text{O}$  کمتری ( $<0.3$ ) از ماغماهای مشتق شده از منابع فقیر از رس (غنی از پلاژیوکلاز) ( $>0.3$ ) داشته باشند [۳۳]. نسبت  $\text{CaO}/\text{Na}_2\text{O} = 1/3$  برای نمونه‌های سنگی مورد بررسی همراه با نمودار توصیفی شکل ۵ یک خاستگاه فقیر از رس مانند متاگریوک را برای گرانیت‌های مورد بررسی محتمل می‌داند.

به احتمال قوی بخش زیادی از آپاتیت‌های موجود در گرانیتوئیدهای الیگودرز باید رستیت باشد زیرا محتوای  $\text{P}_2\text{O}_5$  کلیه سنگ‌های یاد شده کمتر از این مقدار است و مقدار آن برخلاف روند افزایشی مشاهده شده برای گرانیتوئیدهای نوع S از سنگ‌های مافیک به سمت فلسیک کاهش یافته است. تنها دلیل آن نیز جدایش این کانی بهصورت رستیت از بخش‌های مافیک‌تر است. کاهش فراوانی زیرکنیم، با افزایش  $\text{SiO}_2$  به معنای اشباع از این عنصر حین تکامل گدازه است که با حضور مراکز زیرکن موروثی به خوبی توجیه می‌شود [۳۰]. از آنجاکه اکثر زیرکن‌ها موروثی بوده و بهصورت نفوذی در بیوتیت قرار دارند، همگام با افزایش  $\text{SiO}_2$  به سمت لوکوگرانیت‌ها انتظار می‌رود که از مقدار Zr نیز کاسته شود. مونازیت یکی از مهم‌ترین کانی فرعی کنترل کننده عناصر REE (به ویژه LREE)، U و Th در طی تشکیل و جدایش گرانیت‌های پرآلومین است [۳۱]. این کانی بالاترین ضریب توزیع سریم را بین کانی‌های تشکیل دهنده دیگر گرانیت دارد ( $K = 3413$ ). بنابراین تهی‌شدگی از P، Zr، Y، Th و REE (جز Eu) می‌تواند در نتیجه جدایش بیوتیت باشد چون بیشتر تمرکز زیرکن و



شکل ۵ نمودار  $\text{Rb/Sr}$  در مقابل  $\text{Rb/Ba}$  برای تعیین خاستگاه گرانیتوئیدهای به شدت پرآلومینی، قلمرو گرانیت‌های هیمالیا و نوار چین خورده لاخلان، خط ناپیوسته و گدازه‌های محاسبه شده از [۳۴] اقتباس شده است. علائم مشابه شکل ۴ است.

- (restite) in granite petrogenesis", *Journal of Petrology* 28 (1987) 1111–1138.
- [2] Chappell B.W., White, A. J. R., "Restite enclaves and the restite model", (1991) In Didier, J. & Barbarin, B. (eds), *Enclaves and Granite Petrology*, pp. 375-381. Elsevier, Amsterdam.
- [3] Chappell B.W., "Magma mixing and the production of compositional variation within granite suites: evidence from the granites of southeastern Australia", *Journal of Petrology* 37 (1996) 449-470.
- [4] White A. J. R., Chappell B.W., "Some supracrustal (S-type) granites of the Lachlan Fold Belt", *Transactions of the Royal Society of Edinburgh Earth Sciences* 79 (1988) 169-181.
- [۵] شبیبی م.، اسماعیلی د.، "شواهد پتروگرافی و ژئوشیمیایی رستیت در گرانیت آناتکسی شیرکوه"، مجله بلورشناسی و کانی‌شناسی ایران، شماره ۱۸ (۱۳۹۱) ص ۱۳۵-۱۴۶.
- [۶] نبوی م. ح.، "دیپاچه‌ای بر زمین‌شناسی ایران"، انتشارات سازمان زمین‌شناسی و اکتشافات معدنی کشور، تهران (۱۳۵۵).
- [7] Esna-Ashari A., Tiepolo M., Valizadeh M. V., Hassanzadeh J., Sepahi A.A., "Geochemistry and zircon U-Pb geochronology of Aligoodarz granitoid complex, Sanandaj-Sirjan Zone, Iran", *Journal of Asian Earth Sciences* 43 (2011) 11-22.
- [۸] باقریان س.، خاکزاد ا.، "خاستگاه سنگ‌شناسی توده گرانیتوئیدی منطقه ملاطاب (شمال الیگودرز)", *فصلنامه علوم زمین*، شماره ۴۲-۴۱ (۱۳۸۰).
- [۹] باغبایی ش.، "بررسی تفصیلی پترولوزی و ژئوشیمی توده‌های گرانیتوئیدی ازنا - الیگودرز"، پایان‌نامه کارشناسی ارشد، دانشکده علوم، دانشگاه شاهرود (۱۳۹۰).
- [۱۰] باقری ن.، "پتروگرافی و ژئوشیمی خاک‌های کمیاب در توده نفوذی شمال، شمال شرق و شمال غرب الیگودرز با تأکید روی آنکلاوهای پایان‌نامه کارشناسی ارشد، دانشگاه اصفهان، ص ۱۰۷ (۱۳۸۰).
- [11] Chappell B. W., White A. J. R., "Development of P-rich granites by sequential restite fractionation and fractional crystallisation: the Koetong Suite in the Lachlan Fold Belt", *Acta Universitatis Carolinae Geologica* 42 (1998) 23-27.
- [12] Smith J. V., Brown W.L., "Feldspar Minerals. I., Crystal structures, physical, chemical and

### برداشت

توده‌های نفوذی گل زرد و دره باغ به‌طور گسترده از سنگ‌های گرانوپوریتی غنی از بیوتیت و حاوی مقادیر قابل توجهی از کانی‌های رستیتی تا گرانیت‌های تفریق یافته‌ی فاقد رستیت را شامل می‌شود. بر اساس بررسی‌های سنگنگاری هسته‌های کلسیک بلورهای پلازیوکلاز ( $An_{91-84}$ ) با منطقه‌بندی پیچیده، زینوکریست‌های آندالوزیت، گارنت خرد شده با ترکیب نسبتاً یکنواخت  $Alm_{70}Py_{22}Gro_4Sp_{84}$  در مرکز، مجموعه کانی‌ای سیلیمانیت ± کانی‌های فرعی زیرکن، مونازیت و آپاتیت از مهم‌ترین کانی‌های رستیتی شناخته شده در گرانوپوریت‌ها هستند. روندهای خطی مشاهده شده در نمودارهای تغییرات عناصر همراه با کاهش پیشرونده‌ی فراوانی عناصر کمیابی مانند Zr و Ce (LREE) از گرانوپوریت‌ها به سمت گرانیت‌ها با روند عادی فرایند تبلور به عنوان تنها عامل موثر در شکل‌گیری ماگما مغایرت داشته و مدل جدایش کانی‌های رستیتی را تایید می‌کند. از طرف دیگر، افزایش مقادیر  $FeO$ ,  $Al_2O_3$ ,  $Rb$ ,  $K_2O$ ,  $Na_2O$  در نمودارهای هارکر میان فرایند تبلور جدایشی است. بنابراین، شواهد ژئوشیمیایی نیز همانند بررسی‌های سنگنگاری حضور این کانی‌های رستیتی را تایید کرده و می‌توان تنوع ترکیبی مشاهده شده در بخش‌های مافیکتر (گرانوپوریت‌ها) را به دلیل درجات مختلف جدایش ماگما از رستیت در تعادل با ماگما و تغییرات موجود در بخش‌های فلزیک‌تر (گرانیت‌ها) این جایگاه را به تبلور جدایشی نسبت داد. با توجه به سن، خاستگاه و جایگاه زمین‌شناسی منطقه‌ی موربد بررسی، تشکیل توده‌های گرانیتوئیدی الیگودرز (گل زرد و دره باغ) را می‌توان به رویداد زمین‌ساختی سیمرین میانی ناشی از فرورانش ورقه اقیانوسی نووتیس به زیر خرد قاره‌ی ایران مرکزی نسبت داد. وجود دایک‌های مافیک در داخل توده‌های نفوذی مزبور نشانه‌ای از استقرار ماگماهای مافیک ناشی از این منطقه‌ی فرورانشی و عاملی برای تامین گرمای لازم برای ذوب سنگ‌های پوسته‌ای بوده است.

### مراجع

- [1] Chappell B. W., White A. J. R., Wyborn D., "The importance of residual source material

- Hills, South Dakota", *Geochimica et Cosmochimica Acta* 51(1987) 473-486.
- [24] Deniel C., Vidal E, Fernandez A., Le Fort E., Peucat J.J., "Isotopic study of the Manaslu granite (Himalaya, Nepal); inference on the age and source of Himalayan leucogranites", *Contributions to Mineralogy and Petrology* 96 (1987) 78-92.
- [25] Clarke D.B., "Cordierite in felsic igneous rocks: A synthesis", *Mineralogical Magazine* 59 (1995) 311-325.
- [26] Allegre C. J., Treuil M., Minster J-E, Minster B., Albarede R., "Systematic use of trace elements in igneous processes", *Contributions to Mineralogy and Petrology* 60 (1977) 57-75.
- [27] Benard F., Moutou P., Pichavant M., "Phase relations of tourmaline leucogranites and the significance of tourmaline in silicic magmas", *The Journal of Geology* 93 (1985) 271-291.
- [28] Osanai Y, Komatsu M., Owada, M., "Metamorphism and granitic genesis in the Hidaka metamorphic belt, Hokkaido, Japan", *Journal of Metamorphic Geology* 9 (1991) 111-124.
- [29] Pichavant M., Montel J. M., Richard L.R., "Apatite solubility in peraluminous liquids: Experimental data and an extension of the Harrison-Watson model", *Geochimica et Cosmochimica Acta* 56 (1992) 3855-3861.
- [30] Miller C. F., Mc Dowell S. M., Mapes R.W., "Hot and cold granites? Implications of zircon saturation temperatures and preservation of inheritance", *Geology* 31 (2003) 529-532.
- [31] Miller C. F., Mittlefehldt D.W., "Depletion of light rareearth elements in felsic magmas", *Geology* 10 (1982) 129-133.
- [32] Bea F., "Residence of REE, Y, Th and U in granites and crustal protoliths; implications for the chemistry of crustal melts", *Journal of Petrology* 37 (1996) 521-552.
- [33] Sylvester P. J., "Post-collisional strongly peraluminous granite", *Lithos* 45 (1998) 29-44.
- [34] Siivola J., Schmid R., "Recommendations by the IUGS Subcommission on the Systematics of Metamorphic Rocks: List of mineral abbreviations". (2007) Web version 01.02.07. ([http://www.bgs.ac.uk/scmr/docs/papers/paper\\_12.pdf](http://www.bgs.ac.uk/scmr/docs/papers/paper_12.pdf)) IUGS Commission on the Systematics in Petrology.
- microstructural properties", Springer Verlag (1988) Berlin 828 pp.*
- [13] Holtz F., Barbey P., "Genesis of peraluminous granites. II. Mineralogy and chemistry of the Tourem complex (North Portugal). Sequential melting vs. resti unmixing ", *Journal of Petrology* 32 (1991) 959-978.
- [14] Clarke D. B., Mc Kenzie C. B., Muecke G. K., "Magmatic andalusite from the South Mountain Batholith, Nova Scotia", *Contributions to Mineralogy and Petrology* 56 (1976) 279–287.
- [15] Rose E. L., "Andalusite and corundum-bearing pegmatites in Yo-semite National Park, California", *American Mineralogist* 42 (1957) 635 –647.
- [16] Clarke D. B., Dorais M., Barbarin B., et al., "Occurrence and origin of andalusite in peraluminous felsic igneous rocks", *Journal of Petrology* 46 (2005).
- [17] Scaillet B., France-Lanord C., Le Fort P., "Badrinath-Gangotri plutons (Garhwal, India): petrological and geochemical evidence for fractionation processes in a high Himalayan leucogranite", *Journal of Volcanology and Geothermal Research* 44 (1990) 163-88.
- [18] Scaillet B., Pichavant M., Roux J., "Experimental crystallization of leucogranite magmas", *Journal of Petrology* 36 (1995) 663-705.
- [19] Johannes W., "Beginning of melting in the granitic system  $Qz-Or-Ab-An-H_2O$ ", *Contributions to Mineralogy and Petrology* 86 (1984) 264-273.
- [20] Bateman R., "The Center Pond pluton: The restite of the story (phase separation and melt evolution in granitoid genesis)", *Comment. Am. J. Sci.* 288 (1988) 282-287.
- [21] Williamson B.J., Downes H. , Thirlwall M.F., Beard A., "Geochemical constraints on restite composition and unmixing in the Velay anatetic granite, French Massif Central", *Lithos* 40 (1997) 295-319
- [22] Harris N.B.W., Inger S., "Trace element modelling of pelite-derived granites", *Contributions to Mineralogy and Petrology* 110 (1992) 46-56.
- [23] Shearer C.K., Paprke J. J., "Mineralogical and chemical evolution of a rare-element granite-pegmatite system: Harney Peak Granite, Black